

ЕЛЕКТРОМАГНІТНО СУМІСНІ З МЕРЕЖОЮ ЖИВЛЕННЯ КОЛЕКТОРНІ ТА БЕЗКОНТАКТНІ ЕЛЕКТРОПРИВОДИ ПОСТИЙНОГО СТРУМУ

Вступ. Із постійним зростанням кількості нелінійних споживачів електроенергії, значну частку яких складають регульовані електроприводи (ЕП), все гостріше постає проблема електромагнітної сумісності (ЕМС) [1]. Протягом останніх років введено в дію цілу низку стандартів, які регламентують якість споживання електроенергії [2,3]. Для ЕП найпростішим способом усунення вищих гармонік у споживаному струмі є застосування пасивних фільтрів, проте використання останніх приводить до зниження енергетичної ефективності (ЕЕ) через зменшення соф. Тому найефективнішим способом усунення завад є подавлення їх у місці виникнення. Найкраще такі задачі можна виконати, використавши високочастотні силові напівпровідникові перетворювачі: активні фільтри для високопотужних ЕП та активні випрямлячі (AB) для ЕП малої і середньої потужності. Останні, крім функцій забезпечення ЕМС та підвищення ЕЕ, дають змогу забезпечувати двонапрямлений потік потужності, а також регулювати напругу чи струм на виході. Ці дві функції вказують на доцільність застосування AB в сучасних регульованих ЕП, що підтверджується серійними марками перетворювачів частоти відомих світових фірм (Siemens, ABB, Schneider Electric та ін.). У цих перетворювачах, призначених для асинхронних та синхронних приводів, пасивний випрямляч замінено на AB, який стабілізує напругу в ланці постійного струму. Таким чином, система ЕП складається з двох транзисторних мостів, які утворюють дві незалежні системи керування: AB для формування синусоїdalних струмів, що споживаються від мережі, і стабілізації напруги в ланці постійного струму та інвертор – для регулювання параметрів ЕП. Така конфігурація системи ЕП є достатньо складною і дорогою, з підвищеними комутаційними втратами енергії, що не завжди економічно обґрунтовано.

Постановка задачі дослідження. Як відомо, швидкість ЕП постійного струму, як колекторних, так і безконтактних, регулюється зміною напруги якоря від нуля до номінального значення. Виконання такої функції може здійснювати AB понижувального (buck) чи понижувально-підвищувального (buck-boost) типів [4,5]. AB напруги з такими функціями можуть реалізовуватися як двоступінчасті – послідовне з'єднання підвищувального AB, який включає від одного до шести транзисторів (оскільки лише підвищувальний AB забезпечує можливість зниження лінійних струмів у будь-який момент часу), і відповідного перетворювача постійної напруги (ППН) [4,5]. Проте двостадійний характер перетворення енергії приводить до додаткових втрат, тому більш доціальними є одноступінчасті системи. Відомі одноступінчасті AB понижувального типу, які є комбінацією шестиключового транзисторного моста та понижувально-підвищувального ППН [4-6]. Однак останній є досить складною нелінійною динамічною ланкою, тому для якісної роботи її у складі САР необхідно застосовувати методи лінеаризації та багатопараметричного керування [6]. Зважаючи на необхідність регулювання струму якоря з метою керування моментом, для регульованого ЕП більш доцільно використати AB з функцією джерела струму (ABC) [7]. Ім властива гранична швидкодія керування струмом, проте на вході ABC для цього повинні бути емісійні накопичувачі енергії – конденсатори у фазах, а для згладження струмів їх підзаряджання в лінійні проводи необхідно ввімкнути дроселі. Таким чином, на вході ABC отримується фільтр 2-го порядку, який на низьких частотах може створювати резонанс. Математичний опис і керування системою ABC – дінгун може бути спрощений, без врахування фільтра на вході (внаслідок цього появляється деякий зсув між струмом та напругою, $\phi \neq 0$), та складний, з врахуванням динамічних властивостей фільтра. В останньому випадку шляхом керування розширенним (з врахуванням параметрів фільтра) вектором параметрів стану здійснюється лінеаризація, в результаті чого отримується додатковий ступінь вільності – можливість регулювання активної і реактивної складових потужності, що споживається з мережі (завдання будь-якого ϕ) [8,9].

Метою цієї роботи є розроблення систем ЕП, у яких на AB, крім його традиційних функцій забезпечення ЕМС та ЕЕ, накладаються додаткові функції регулювання параметрів ЕП.

Матеріали дослідження. На початковій стадії дослідження ми вибрали перший варіант як простіший (рис. 1) САР швидкості ЕП буде здійснюватися за традиційним методом підпорядкованого регулювання координат. Силова частина ABC складається з послідовно ввімкнених IGBT-транзисторів і діодів, останні сприймають зворотну напругу, захищаючи транзистор. Модуляція для ABC відрізняється певними особливостями і може здійснюватись одним із трьох способів: базуючись на несучій частоті; подібно, але з виключенням певних гармонік; просторово-векторною модуляцією [5,7]. Використаємо перший спосіб, який реалізується генератором модульованих сигналів, генератором трикутної напруги ГТН та формувачем імпульсів системи [7]. Осцилограми, приведені на рис. 2, ілюструють процес формування сигналів керування S1 і S4 відповідними транзисторами одного плача (фаза a). Як синхронізуючі беруться напруги з емісійного фільтра на вході ABC (рис. 1) – Ua на рис. 2.

Для того щоб правильно керувати ABC, спосіб модуляції сигналів керування ключами повинен задовільняти двом наступним вимогам: 1) для уникнення короткозамкненого кола через емісійний характер на вході ABC необхідно, щоб в будь-який момент часу були замкненими щонайбільше один верхній та один нижній ключі

випрямляча; 2) ланка постійного струму є джерелом струму і через те завдання повинно бути коло ширкулювання струму, тому повинні бути щонайменше ввімкненими один верхній та один нижній ключі. Підсумовуючи вищевказані умови, отримуємо основну вимогу до керування ключами ABC: у будь-який час повинні бути ввімкнені лише один верхній та один нижній ключі моста [5,7]. Модуляція їх роботи повинна забезпечувати квазінисоїдальні лінійні струми на вході ABC (рис. 2).

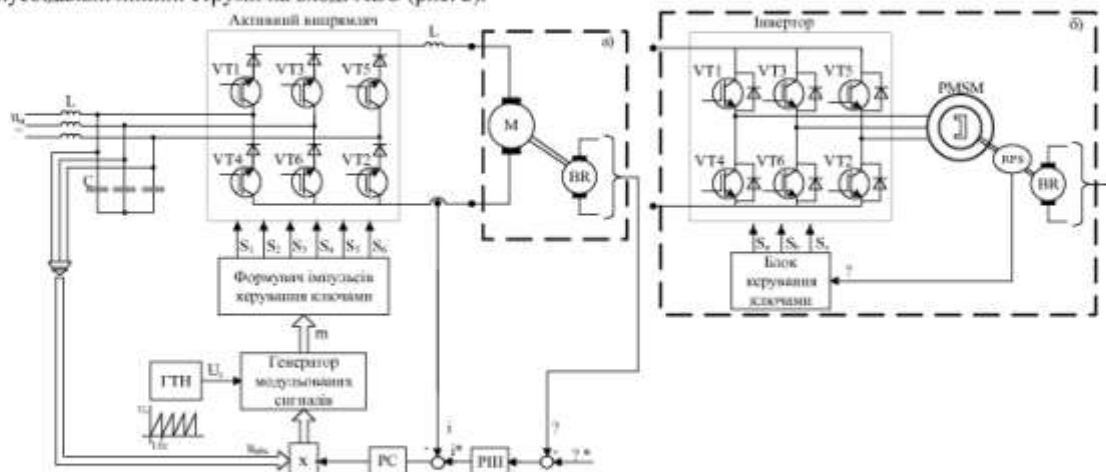


Рис. 1. Система регульованого ЕП постійного струму з ABC:
а) на базі колекторного двигуна постійного струму; б) на базі безконтактного двигуна постійного струму

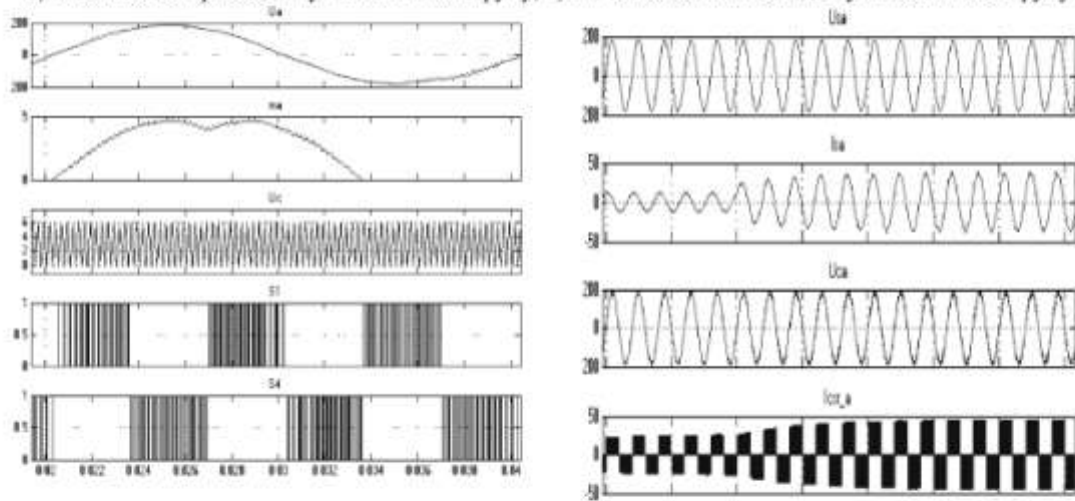


Рис. 2. Осцилограми, що ілюструють роботу

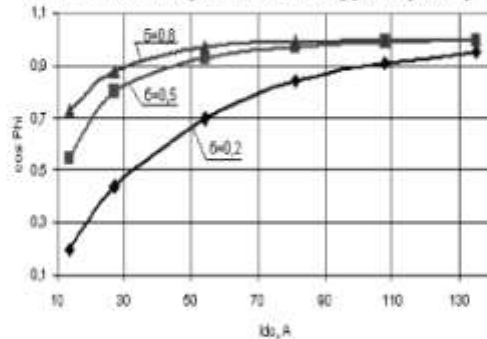


Рис. 4. Енергетичні характеристики системи ЕП з ABC

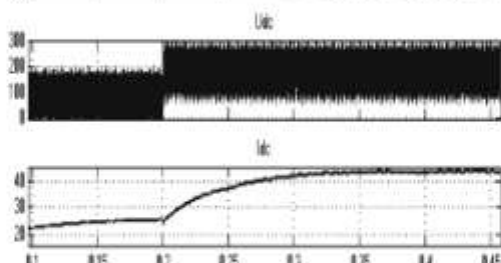


Рис. 3. Осцилограми роботи системи ЕП з ABC:

- напруга фази а мережі
- струм у фазі а мережі
- напруга на ємнісному фільтрі фази а
- струм ABC у фазі а
- напруга в ланці постійного струму
- струм на виході ABC

На рис. 3 приведені осцилограми, які ілюструють роботу системи ЕП з АВС: до часу 0,2 с ступінь модуляції $\delta=0,2$ і усталене значення струму на виході становить $I=27$ А; у момент часу 0,2 с ступінь модуляції зростає стрибкоподібно до $\delta=0,8$, напруга на виході АВС U_{dc} реагує практично безінерційно, а швидкість наростання струму визначається електромагнітною сталою часу кола постійного струму $T_c = 57$ мс (якоря двигуна). Струм, що споживається від мережі, є практично синусоїдальним, але має лінейний зсув на кут ϕ відносно напруги мережі: практично нульовий при $\delta=0,8$ та дещо більший при $\delta=0,2$. Напруга на виході АВС є пульсутою з частотою ШІМ, що пояснюється відсутністю емісійного фільтра.

Важливим моментом для АВС є вибір вхідного фільтра, який розраховується за наступними виразами [10,11]:

$$(f_r^*)^2 = \left(\frac{f_r}{f_c} \right)^2 = \frac{X_C^*}{X_L^*}; \quad X_C^* = \frac{k_C N}{\pi}, \quad (1)$$

де f_r – резонансна частота LC-фільтра; $f_c = 50$ Гц – частота мережі; X_L^* , X_C^* – відносні опори дроселя і конденсатора фільтра, що рівні відповідним абсолютним значенням на частоті f_c , нормовані на умовний активний опір кола постійного струму $R_b = 2/3 \cdot U_{dc,max}/I_{dc,max}$; $k_C = 0,2$ – коефіцієнт пульсації струму I_{dc} ; $N = f_{\text{ШІМ}}/f_c$ – коефіцієнт відношення частоти ШІМ $f_{\text{ШІМ}}$ до частоти f_c .

Для перевірки енергетичної ефективності роботи АВС у запропонованій системі ЕП (рис. 1,а) було розроблено комп’ютерну модель в програмному середовищі MatLab/Simulink з параметрами двигуна постійного струму $P_n=10$ кВт, $U_n=220$ В, $I_n=54$ А, $M_n=90$ Н·м, $\omega_n=112$ с⁻¹, $J=0,22$ кг·м² та з вирахуваннями за (1) параметрами вхідного фільтра $L=0,667$ мГн, $C=187$ мКФ.

На рис. 4 приведені енергетичні характеристики, отримані в результаті досліджень залежності коефіцієнта зсуву $\cos \phi$ від струму на виході АВС за різних значень ступеня модуляції вихідної напруги δ (швидкості ЕП). Як видно з рис. 3, робота ЕП супроводжується значно вищим порівняно, наприклад, з тиристорним перетворювачем значеннями $\cos \phi$, які знижаються при глибокому регулюванні швидкості. При цьому форма лінійних струмів дуже близька до синусоїdalnoї: загальний коефіцієнт спотворення лінійних струмів вищими гармоніками THD коливався в межах 0,05-0,17 для $\delta=0,2$; 0,06-0,07 для $\delta=0,5$ та 0,02-0,04 для $\delta=0,8$. Вміст окремих вищих гармонік в споживаному струмі для трьох вицезгаданих варіантів знаходився в межах (0,5-3,5)% - для 5-ої гармоніки, (1-8)% - для 7-ої, (0,5-2)% - для 11-ої та (0,5-0,9)% - для 13-ої, причому більші значення відповідають низьким швидкостям ЕП ($\delta=0,2$).

Висновок. Таким чином, використання АВС як силового перетворювача для ЕП постійного струму, колекторного та безконтактного, забезпечує поряд з практичною безінерційністю керування, високі показники EMC.

Література.

- Шур І.З. Проблеми сучасного електроспоживання // Електроінформ. – 2006. – №1. – С. 23-24.
- IEEE Std 519-1992, “IEEE recommended practices and requirements for harmonic control in electric power systems”, © Institute of Electrical and Electronics Engineers, Inc. 1993.
- Limits for harmonics current emissions (equipment input current up to and including 16 A per phase), IEC 61000-3-2 International Standard, 2000.
- Singh B., Singh B. N. // A review of three-phase improved power quality AC-DC converters // IEEE Trans. on Ind. Electron. – 2004, Vol. 51, No 3. – P. 641-660.
- Rodriguez J.R., Dixon J.W., Espinoza J.R., Pontt J., Lezana P. PWM regenerative rectifiers: State of the art // IEEE Trans. Ind. Electron. – 2005, Vol. 52, No 1. – P. 5-22.
- Pan C., Shieh J. New space-vector control strategies for three-phase step-up/down AC/DC converter // IEEE Trans. Ind. Electron. – 2000, Vol. 47, No 1. – P. 25-35
- Espinoza J.R., Joos G. Current-source converter on-line pattern generator switching frequency minimization // IEEE Trans. Ind. Electron. – 1997, Vol. 44, No 2. – P. 198-206.
- Doval-Gandoy J., Penalver C.M. Dynamic and steady state analysis of a three phase buck rectifier // IEEE Trans. Power Electron. – 2000, Vol. 15, No 6. – P. 953-959.
- Han S., Choi N., Rim C., Cho G. Modeling and analysis of static and dynamic characteristics for buck-type three-phase PWM rectifier by circuit DQ transformation // IEEE Trans. Power Electron. – 1998, Vol. 13, No 2. – P. 323-336.
- Espinoza J.R., Joos G. State variable decoupling and power flow control in PWM current-source rectifiers // IEEE Trans. Ind. Electron. – 2001, Vol. 45, No 1. – P. 78-87.
- Graovac D., Katic V. Online control of current-source-type active rectifier using transfer function approach // IEEE Trans. Ind. Electron. – 2001, Vol. 48, No 3. – P. 526-535.